

ИССЛЕДОВАНИЕ СУТОЧНОГО ХОДА ВЕРТИКАЛЬНОГО ГРАДИЕНТА ПОКАЗАТЕЛЯ ПРЕЛОМЛЕНИЯ ВОЗДУХА

В нижнем слое воздуха, где преимущественно выполняются геодезические измерения, вследствие конвективных и турбулентных процессов образуется неустойчивая структура атмосферы.

В метеорологии одним из основных факторов, определяющих физическое состояние атмосферы, принято считать стратификацию. Как показали исследования [2], при ясном небе наблюдается устойчивая стратификация воздуха ночью и неустойчивая — днем.

Неоднородность атмосферы обусловлена нестабильностью метеорологических параметров, изменяющих плотность и параллельность ее слоев, что приводит кискажениям светового луча на пути его распространения в земной атмосфере и, как следствие, к рефракционным погрешностям измерений.

Основным параметром, характеризующим преломляющие свойства атмосферы для распространяющихся электромагнитных волн (ЭМВ), является показатель преломления воздуха n . Для удобства расчетов n принято выражать через индекс рефракции, получаемый из выражения

$$(n-1) = N \cdot 10^{-6}, \quad (1)$$

где N — отвлеченная величина, дополняющая n в четвертом знаке после запятой.

С целью изучения характера изменения показателя преломления в наиболее активном слое воздуха мы исследовали суточный ход вертикального градиента $\partial N / \partial h$ по измерениям метеорологических параметров: температуры t , влажности e и давления P , выполненным на одном из пунктов эталонного геодезического полигона в Карпатах [4].

Метеопараметры t и e измерялись психометрами Асмана на двух уровнях (1,4 м и 5 м), давление — на нижнем уровне барометром-анероидом. По результатам часовых серий измерений, выполненных в период с 20. 06 по 28. 06. 73 г., и формуле [1]

$$N = 104,85 \frac{P}{T} \left(1 - 0,132 \frac{e}{P} \right) \quad (2)$$

вычислены индексы рефракции для двух высот каждого часа измерений.

Учитывая незначительность влияния влажности на преломление ЭМВ светового диапазона, при вычислении N в формуле (2) принималось усредненное для летнего периода значение влажности $e = 10$ мм рт. ст.

Анализ показал, что такое упрощение не вызывает в вычислении N погрешностей, превышающих $0,3N$. При исследовании в

обработку включены результаты 142 измерений температуры на двух высотах. Градиенты индексов рефракции g_n получены из соотношения

$$g_n = \frac{N_u - N_n}{h_u - h_n}. \quad (3)$$

Здесь h_u , h_n — высота подвесок верхнего и нижнего психрометров. Разность $h_u - h_n$ составляла 3,6 м.

Значения вертикальных градиентов показателя преломления воздуха

част- ни- ко- блю-	$g_n, 1 \cdot 10^{-8} \text{ м}^{-1}$							$g_{\text{ср}}$
	20,06	22,06	23,06	25,06	26,06	27,06	28,06	
0	-3	-3	-8	-6	-3	-6	-3	-5
1	-6	0	-6	-6	-3	-6	-3	-3
2	-3	0	-6	-8	-6	-6	-6	-5
3	-3	6	-6	0	-8	-3	-2	-2
4	-3	0	-3	-6	-6	-6	-5	-5
5	-6	-1	-8	-3	-3	-11	-7	-7
6	-3	0	-6	-8	-3	-11	-4	-4
7	-1	0	6	6	6	6	6	4
8	0	3	3	8	6	6	6	3
9	3	0	3	6	6	6	6	3
10	6	-3	3	-6	6	11	8	5
11	8	-1	6	6	6	8	8	5
12	8	-1	8	-11	6	11	8	2
13	6	8	6	-8	3	-8	2	1
14	6	8	3	0	-8	6	-6	5
15	-	8	6	0	-6	14	6	2
16	6	8	0	0	-6	-3	8	1
17	0	8	-3	6	-8	6	1	1
18	6	8	-3	0	-6	-3	2	2
19	-6	0	-3	3	-8	3	-2	-2
20	-8	6	0	0	-6	-6	3	-2
21	6	0	-3	-3	0	0	0	0
22	-3	-14	-14	-14	-6	-10	-6	-6
23	-6	-6	-6	-6	-6	-6	-6	-6

Численные значения часовых серий g_n в N единицах приведены в таблице, там же даны усредненные величины g_n за весь период измерений.

На рисунке представлен график, иллюстрирующий суточный ход градиента g_n . График построен по средним значениям g_n за период измерений.

Анализ рисунка свидетельствует о том, что ночной до восхода Солнца g_n отрицателен и близок к своему стандартному значению $g_n = -4 \cdot 10^{-8} \text{ м}^{-1}$ [3].

Примерно через 1,5 часа после восхода Солнца в нижнем слое воздуха (1,5...6 м) сохраняется адиабатическая стратификация и g_n меняет знак, принимая положительные значения. За 2...2,5 ч до захода Солнца g_n снова меняет знак на минус, в течение 1,5...

2 ч наблюдается изотермическая стратификация, т. е. сохраняется равновесное состояние атмосферы, удобное для геодезических измерений.

За весь период измерений амплитуда флукутаций g_n не превышала величин $\pm 0.5 \cdot 10^{-8} \text{ м}^{-1}$... $14 \cdot 10^{-8} \text{ м}^{-1}$. Это, по-видимому, объясняется примерно однородными погодными условиями, сохранившимися на пункте в моменты измерений.

Анализ результатов исследований показывает, что полученные данные о суточном изменении градиента g_n позволяют полнее изу-

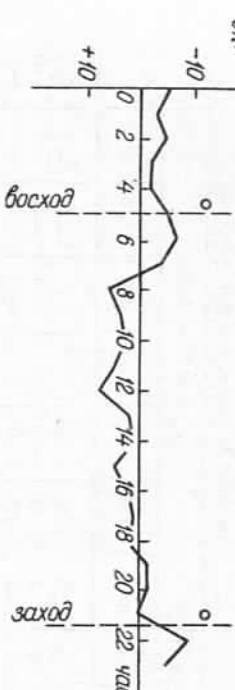


График суточного хода g_n .

чать преломляющие свойства нижних слоев атмосферы, правильнее оценивать метеорологическую обстановку в моменты наблюдений, избегать при измерениях периодов максимальных рефракционных влияний, что имеет практическую ценность для геодезического производства.

Список литературы: 1. Казанский К. В. Земная рефракция над обширными волнами пространствами. — Л.: Гидрометеонад, 1966. — 190 с. 2. Гамма Дже., Панобский К. Структура атмосферной турбулентности. — М.: Мир, 1966. — 264 с. 3. Рукава А. Н. Исследование показателя преломления воздуха в нижнем 300-метровом слое атмосферы в районе Калужской области. — М.: 1975. — 11 с. — (Препринт / Ин-т радиотехники и электроники АН СССР; № 85). 4. Сажин В. А. Исследование статистических характеристик результатов круглосторонних наблюдений зенитных расстояний в горном районе. — Геодезия, картография и аэрофотосъемка, 1978, вып. 27, с. 166.

Статья поступила в редакцию 05.02.85

УДК 528.3

Л. С. ХИЖАК, Н. Д. ЙОСИПЧУК, М. М. ФРЫС

ОПРЕДЕЛЕНИЕ УРАВНЕНИЯ СВЕТОВОЙ КРИВОЙ ПО РЕЗУЛЬТАТАМ ГЕОДЕЗИЧЕСКИХ И МЕТЕОРОЛОГИЧЕСКИХ ИЗМЕРЕНИЙ

В работах [1], [4] приведена общая теория определения уравнения световой кривой по результатам геодезических и метеорологических измерений с учетом уравнений динамики атмосферы. Частные случаи решения указанной задачи рассмотрены в работах [2], [3].

Здесь рассматривается еще один частный случай решения задачи для равнинной поверхности. При этом состояние атмосферы описывается уравнениями Менделеева—Клайперона

$$\rho = \mu \frac{P}{R T}, \quad (1)$$

$$g\rho = - \frac{dP}{dz}, \quad (2)$$

и уравнением состояния

где ρ — плотность воздуха, μ — масса моля, T — температура воздуха в градусах Кельвина, P — давление воздуха, R — газовая постоянная, g — ускорение свободного падения, z — высота над подстилающей поверхностью.

Решение уравнений (1) — (2) будем искать в виде степенного ряда по степеням z

$$P = P_0 + p_1(z - z_0) + p_2(z - z_0)^2 + \dots + p_n(z - z_0)^n + \dots \quad (3)$$

$$T = T_0 + t_1(z - z_0) + t_2(z - z_0)^2 + \dots + t_n(z - z_0)^n + \dots \quad (4)$$

Для нахождения коэффициентов t_i ($i=1, 2, \dots, n$) используются измерения температуры над подстилающей поверхностью на различных высотах. При этом количество членов n ряда (4) определяется допустимой погрешностью измерения температуры.

Таким образом, для вычисления коэффициентов t_i получим систему из n линейных уравнений. Подставляя вычисленные t_i в разложение (4), получим выражение для температуры T . Решая уравнения (1) и (2) с учетом полученного выражения для температуры T и измеренного значения P_0 давления на высоте z_0 , для плотности ρ получаем выражение

$$\rho = \frac{\alpha \mu}{R} \frac{P_0 + p_1(z - z_0) + p_2(z - z_0)^2 + \dots + p_n(z - z_0)^n}{T_0 + t_1(z - z_0) + t_2(z - z_0)^2 + \dots + t_n(z - z_0)^n}. \quad (5)$$

Учитывая формулу Далля—Гладстона для показателя преломления $n(z)$ получим равенство

$$n(z) = 1 + \frac{\alpha \mu}{R} \frac{P_0 + p_1(z - z_0) + \dots + p_n(z - z_0)^n}{T_0 + t_1(z - z_0) + \dots + t_n(z - z_0)^n}. \quad (6)$$

Используя методику определения уравнения световой кривой [4], значение z_k световой кривой в точке x_k получаем из следующих соотношений:

$$z_k = z_{k-1} + z'_{k-1} x_k + z''_{k-1} x_k^2 + \dots, \quad (7)$$

$$\text{где } z_k^1 = \pm \sqrt{\frac{n'^2(z)}{n^2(z_0) \sin^2 \xi} - 1}, \quad (8)$$

$$n(z_k) = 1 + \frac{\alpha \mu}{R} \frac{P_0 + p_1(z_k - z_0) + \dots + p_n(z_k - z_0)^n}{T_0 + t_1(z_k - z_0) + \dots + t_n(z_k - z_0)^n}; \quad (9)$$

$$n(z_0) = 1 + \frac{\alpha \mu}{R} \cdot \frac{P_0}{T_0}, \quad (10)$$

где ξ — измеренное зенитное расстояние, α — постоянная, зависящая от длины проходящего излучения.

Значение координат точек световой кривой
 $Z_{\text{действ}} = 0,226 \text{ м}$ $\chi = 1054 \text{ м}$

Расстояние от начала световой кривой, м	$Z_k, \text{ м}$	$Z_k^1 \cdot 10^{-3}$	n_k
0	—	—	—
100	$0,175 \cdot 10^{-2}$	0,176	1,00035293
200	$0,200 \cdot 10^{-1}$	0,190	1,00035296
300	$0,396 \cdot 10^{-1}$	0,204	1,00035298
400	$0,607 \cdot 10^{-1}$	0,218	1,00035301
500	$0,831 \cdot 10^{-1}$	0,231	1,00035304
600	$0,107$	0,243	1,00035307
700	0,131	0,256	1,00035310
800	0,157	0,268	1,00035313
900	0,185	0,280	1,00035317
1000	0,213	0,291	1,00035320
1100	0,243	0,302	1,00035323

В частности, ограничиваясь $n=2$, для коэффициентов t получены выражения

$$t_1 = \frac{\Delta t_1 - t_2 \Delta z_1^2}{\Delta z_1}; \quad (11) \quad t_2 = \frac{\Delta t_2 \cdot \Delta z_1 - \Delta t_1 \cdot \Delta z_2}{\Delta z_1 \cdot \Delta z_2^2 - \Delta z_2 \cdot \Delta z_1^2}, \quad (12)$$

где T_0 — измеренное значение температуры на высоте z_0 ,

$$\Delta t_1 = T_1 - T_0, \Delta t_2 = T_2 - T_0, \Delta z_1 = z_1 - z_0, \Delta z_2 = z_2 - z_0.$$

Здесь T_i ($i=0, 1, 2$) — измеренные значения температуры на высотах z_i ($i=0, 1, 2$), а коэффициенты p_i ($i=1, 2$) определяются из следующих соотношений:

$$P' = -\frac{P_0 g \mu}{T_0 R}; \quad (13) \quad P_z = -\frac{g \mu p_1}{2T_0 R} - \frac{p_1 t_1}{2T_0}. \quad (14)$$

С целью апробации изложенной методики были произведены вычисления ординат z_k точек световой кривой над водной поверхностью при различных метеорологических условиях по результатам, полученным из специальных измерений.

Результаты вычислений приведены в таблице.

Как видно из таблицы, предлагаемая методика позволяет получить необходимое количество точек световой кривой. Однако из этих же вычислений выяснилось, что в некоторых случаях не получаются удовлетворительные результаты. Такое положение мож-

но объяснить влиянием ошибок определения метеоэлементов и зенитного расстояния. Этот вопрос требует дополнительных исследований.

Список литературы: 1. Маслич Д. И., Хижак Л. С., Музика А. М. и др. Об одном методе определения рефракции в случае миражей. — В кн.: Всероссийский симпоз. по распространению лазерного излучения в атмосфере: Тез. докл. Томск, 1979, с. 179—183. 2. Маслич Д. И., Хижак Л. С., Диодух И. И. и др. Определение вертикальной рефракции над равнинной поверхностью в интеренционный период. — В кн.: V Всероссийский симпоз. по распространению лазерного излучения в атмосфере: Тез. докл. Томск, 1983, с. 95—97. 4. Хижак Л. С., Диодух И., Яскина Г. Б. Об одном методе нахождения уравнения световой кривой. — В кн.: VI Всероссийский симпоз. по распространению лазерного излучения в атмосфере: Тез. докл. Томск, 1981, ч. 3, с. 114—117.

Статья поступила в редакцию 28. 12. 84

УДК 528.658

С. Н. ХОДОРОВ

К ЭКОНОМИЧЕСКОЙ ЭФФЕКТИВНОСТИ ПОСТРОЕНИЯ ТРИЛАТЕРАЦИОННЫХ СЕТЕЙ

Плановые инженерно-геодезические сети, которые используются при проектировании и строительстве различных народнохозяйственных объектов, можно создавать и методами трилатерации. Несмотря на ряд существенных недостатков, геодезическое обоснование в виде трилатерации прокладывают, например, при строительстве прецизионных сооружений. Технология развития таких сетей требует нестандартного подхода не только во время проектирования, но и при определении экономических критериев построения сетей трилатерации. Одним из критериев является стоимость создания таких сетей.

Расчет стоимости локальных трилатерационных сетей как важнейший элемент проекта работ не всегда просто осуществить. Известно, что стоимость измерений зависит от их точности. Поэтому для расчета стоимости при создании государственных геодезических сетей нормы выработки (времени) дифференцируют в зависимости от класса (разряда) сети. Поскольку требования к точности инженерно-геодезической трилатерационной сети диктуются разнообразием и спецификой задач при проектировании, строительстве и эксплуатации инженерных сооружений и не регламентируются классами (разрядами), установленными действующими инструкциями, то определение стоимостных показателей по установленным нормам выработки [4] затрудлено.

К отмеченному можно добавить и то, что в действующих инструкциях и руководствах имеются некоторые противоречия относительно точности измерения сторон трилатерации. Так, по инструк-